



دانشگاه آزاد اسلامی

واحد تهران مرکز

دانشکده فنی و مهندسی ، گروه برق

پایان نامه برای دریافت درجه کارشناسی ارشد (MSc)

گرایش : الکترونیک

عنوان:

طراحی و شبیه سازی فرستنده گیرنده Low Power و غیرتهاجمی برای ارتباط
Pace BSN با شبکه Maker

استاد راهنما:

دکتر علیرضا کاشانی نیا

استاد مشاور:

دکتر فرداد فرخی

پژوهشگر:

احسان مهرکی زاده

تقدیم به:

مادر مهربانم که زندگی بخش من بوده و همیشه بی
ادعا و مهربانانه در کنارم بوده است.

تشکر و قدردانی:

از زحمات و راهنمایی های گرانقدر استاد محترم
جناب آقای دکتر علیرضا کاشانی نیا که علاوه بر
راهنمایی های این پایان نامه در دوره کارشناسی ارشد
در محضرشان کسب علم نموده ام صمیمانه تشکر و
قدردانی می نمایم. از استاد مشاور گرامی جناب آقای
دکتر فرداد فرخی که علاوه بر زحمت مطالعه پایان
نامه، از اساتید دوره کارشناسی ارشدم بوده اند و
همچنین از جناب آقای دکتر رضا صباحی ندوشن که
زحمت داوری پایان نامه را کشیده اند تشکر و
قدردانی می نمایم.

همچنین از جناب آقای دکتر عبدالکریم اکبر پور از
اساتید دوره کارشناسی بابت راهنمایی های بسیار
مفیدی که در تهیه این پایان نامه به من ارائه نمودند
كمال تشکر و قدردانی را دارم.

چکیده:

پیشرفت تکنولوژی و استفاده از تکنیک های مختلف جهت کوچک سازی مدارهای مجتمع منجر به طراحی مدارهای بسیار کوچکی جهت کاربردهای پزشکی شده است. همچنین از مدولاسیون های مختلفی جهت ارسال داده ها استفاده می شود.

فرستنده گیرنده های زیادی به همین منظور طراحی شده است اما مهمترین چالش هایی که در این راه وجود دارد مصرف توان و نرخ خطای بیت (BER) مدارهای طراحی شده است. در این تحقیق یک فرستنده گیرنده کم مصرف با کمترین آسیب به بافت بدن جهت ارسال سیگنال از قطعه خارجی به پیس میکر طراحی شده است. با توجه به اینکه مدولاسیون BPSK دارای نرخ خطای بیت بسیار کم و نویزپذیری کمتری نسبت به سایر مدولاسیون های دیجیتال است در این طراحی از مدولاسیون BPSK جهت ارسال و دریافت داده ها و تکنیک غیرمنسجم استفاده شده است. همچنین از تکنولوژی CMOS $0.18 \mu\text{m}$ استفاده شده است و همه مدار با ولتاژ ۱ و $1/8$ ولت تغذیه شده است. مصرف توان مدار طراحی شده کمتر از $10 \mu\text{W}$ است. به علت استفاده از تکنیک غیرمنسجم، پیچیدگی مدار و مصرف توان آن به شکل چشم گیری کاهش یافته است. جهت شبیه سازی مدار از نرم افزار ADS استفاده شده است و نتایج آن در این تحقیق آمده است.

آنچه این طراحی را از دیگر طراحی ها متمایز می کند مصرف توان بسیار کم و سادگی مدار فرستنده و گیرنده است. در مدار گیرنده به علت استفاده از تکنیک غیرمنسجم نیازی به PLL نیست که باعث کاهش مصرف توان و پیچیدگی مدار می شود.

فهرست مطالب

| صفحه | عنوان |
|--|--|
| ۱..... | فصل اول: مقدمه |
| فصل دوم: سیر تکاملی پیس میکرها و انواع آن | |
| ۸..... | ‡ + سیگنال قلب |
| ۱۰..... | ‡ + آریتمی ها(اختلالات ضربان قلب) |
| ۱۱..... | ‡ + پیس میکر |
| ۱۲..... | ‡ + مولد پالس پیس میکر یا ژنراتور |
| ۱۲..... | ‡ + الکترودهای پیس میکر |
| ۱۳..... | ‡ + انواع الکترودهای پیس میکر |
| ۱۴..... | ‡ + انواع پیس میکرها از نظر مدت زمان استفاده |
| ۱۴..... | ‡ + پیس میکر موقت |
| ۱۵..... | ‡ + پیس میکر دائمی |
| ۱۶..... | ‡ + پیس میکر خارج جلدی |
| ۱۷..... | ‡ + طبقه بندی پیس میکرها بر اساس روش کدگذاری |
| ۲۰..... | ‡ + سیر تکاملی پیس میکرها |
| ۲۱..... | ‡ + پیس میکر Demand |
| ۲۳..... | ‡ + پیس میکر Dual Chamber |
| ۲۴..... | ‡ + تنظیم پیس میکر |
| ۲۴..... | ‡ + ریت بطنی |
| ۲۵..... | ‡ + برون ده (خرجی) دهیزی و برون ده بطنی |
| ۲۵..... | ‡ + تکمه حساسیت پیس میکر |
| ۲۵..... | ‡ + A کترل فاصله |
| ۲۶..... | ‡ + بررسی عملکرد پیس میکر بر ECG |
| ۲۷..... | ‡ + مشکلات و محدودیت های پیس میکر |
| ۲۸..... | ‡ + تداخل الکترومغناطیسی EMI |

صفحه

| | |
|---------|-----------------------------|
| ۳۰..... | ۲ +۱ اقدامات قبل از عمل |
| ۳۰..... | ۲ +۲ عمل تعییه پیس میکر |
| ۳۰..... | ۲ +۳ خطرات احتمالی پیس میکر |

عنوان

۲ +۱ اقدامات قبل از عمل

۲ +۲ عمل تعییه پیس میکر

۲ +۳ خطرات احتمالی پیس میکر

فصل سوم : تامین توان مورد نیاز پیس میکر

| | |
|---------|-----------------|
| ۳۴..... | ۲ + سابقه موضوع |
| ۳۶..... | ۲ + کوشش اولیه |

فصل چهارم : ساختار و انواع لیدها و مدارهای قلب Sens Amplifier

| | |
|---------|--|
| ۳۹..... | ۴ + ساختمان لید |
| ۳۹..... | ۴ + پین اتصال |
| ۳۹..... | ۴ +۲ Suture Sleeve |
| ۳۹..... | ۴ +۳ بدنه لید |
| ۴۰..... | ۴ +۴ پلاریته |
| ۴۰..... | ۴ +۵ ساختمان لید تک قطبی |
| ۴۱..... | ۴ +۶ ساختمان لید دو قطبی |
| ۴۱..... | ۴ +۷ مقایسه لید تک قطبی و دو قطبی |
| ۴۳..... | ۴ +۸ طراحی الکترودها |
| ۴۳..... | ۴ +۹ مواد الکترودها |
| ۴۳..... | ۴ +۱۰ پلاریزاسیون الکترودها |
| ۴۴..... | ۴ +۱۱ امپدانس الکترودها |
| ۴۵..... | ۴ +۱۲ آستانه تحریک الکترودها |
| ۴۵..... | ۴ +۱۳ تعداد ترکیبات آلی قابل حل در چربی (Stroids) |
| ۴۵..... | ۴ +۱۴ چگونگی دریافت سیگنال قلب |
| ۴۶..... | ۴ +۱۵ مدارات Sense Amplifier و آشکارساز |
| ۴۹..... | ۴ +۱۶ مدار Sense Amplifier پیشنهادی Haddad |
| ۴۹..... | ۴ +۱۷ ویژگی های طرح و تشریح مدار Haddad |
| ۵۱..... | ۴ +۱۸ اصول خطی انتقالی پویا و ساکن |
| ۵۲..... | ۴ +۱۹ مبدل ولتاژ دیفرانسیل به جریان خروجی تکی Haddad |
| ۵۳..... | ۴ +۲۰ فیلتر میان گذر Haddad |
| ۵۴..... | ۴ +۲۱ مدارهای مبدل RMS-DC و قدرمطلق گیر Haddad |

عنوان

صفحه

| | |
|---------|---|
| ۵۵..... | ۴ ۶ مدار آشکارساز Haddad |
| ۵۶..... | ۴ ۷ خلاصه مدار Haddad |
| ۵۶..... | ۴ ۸ مدار Sense Amplifier پیشنهادی Lasanen |
| ۵۷..... | ۴ ۹ + نیازمندیهای طراحی Lasanen |
| ۵۹..... | ۴ ۱۰ + تشریح مدار پیشنهادی Lasanen |
| ۶۰..... | ۴ ۱۱ + پیش تقویت کننده Lasanen |
| ۶۴..... | ۴ ۱۲ + فیلتر SO-SC پیشنهادی Lasanen |
| ۶۸..... | ۴ ۱۳ + تقویت کننده SO-SC پیشنهادی Lasanen |
| ۶۸..... | ۴ ۱۴ ۶ مولد سیگنال کلامی Lasanen |
| ۷۰..... | ۴ ۱۵ + مدار بایاس پیشنهادی Lasanen |

فصل پنجم: آشنایی با انواع مدولاسیون های PSK

| | |
|---------|---|
| ۷۶..... | ۵ + مدولاسیون BPSK |
| ۷۶..... | ۵ + پیاده سازی BPSK |
| ۷۷..... | ۵ + ۲ نرخ خطای بیت BPSK |
| ۷۷..... | ۵ + مدولاسیون QPSK |
| ۷۸..... | ۵ + پیاده سازی QPSK |
| ۷۹..... | ۵ + ۲ نرخ خطای بیت QPSK |
| ۸۰..... | ۵ + ۲ سیگنال در حوزه زمان QPSK |
| ۸۱..... | ۵ + ۲ انواع دیگر مدولاسیون PSK |
| ۸۱..... | ۵ + مدولاسیون Offset QPSK |
| ۸۳..... | ۵ + ۲ مدولاسیون $\frac{\pi}{4}$ -QPSK |
| ۸۴..... | ۵ + ۲ مدولاسیون PSK مرتبه بالاتر (High Order PSK) |
| ۸۴..... | ۵ + ۲ نرخ خطای بیت PSK مرتبه بالاتر |

فصل ششم: دمودلاتورهای BPSK

| | |
|---------|--|
| ۸۷..... | ۶ + دمودلاتورهای BPSK |
| ۸۸..... | ۶ + ۲ دمودلاتورهای BPSK سنتی |
| ۹۰..... | ۶ + ۲ معماری دمودلاتور BPSK پیشنهادی Luo |
| ۹۲..... | ۶ + ۲ تحلیل و بهینه سازی دمودلاتور Luo |

عنوان

صفحه

| | |
|----------|---|
| ۹۴..... | ۶ ۲ ۲ طراحی مدار دمودلاتور BPSK (اولین پیاده سازی) |
| ۹۵..... | ۶ ۲ ۲ ۲ VCO |
| ۹۶..... | ۶ ۲ ۲ ۲ CP با خروجی PFD |
| ۹۷..... | ۶ ۲ ۲ ۲ طراحی دمودلاتور BPSK بهبود یافته (پیاده سازی دوم) |
| ۱۰۰..... | ۶ ۴ ۴ اندازه گیری و نتایج شبیه سازی دمودلاتور Luo |
| ۱۰۴..... | ۶ ۴ ۴ معماری دمودلاتور BPSK پیشنهادی Asgarian |
| ۱۰۷..... | ۶ ۴ ۴ معماری دمودلاتور Asgarian |
| ۱۰۸..... | ۶ ۴ ۴ آشکارساز داده دمودلاتور Asgarian |

فصل هفتم: فرستنده گیرنده BPSK پیشنهادی

| | |
|----------|--|
| ۱۱۲..... | ۷ ۴ معماری فرستنده گیرنده |
| ۱۱۳..... | ۷ ۴ طراحی فرستنده BPSK پیشنهادی |
| ۱۱۵..... | ۷ ۴ ۴ عملکرد بهینه مدار تقویت کننده کلاس E |
| ۱۱۶..... | ۷ ۴ طراحی گیرنده BPSK پیشنهادی |
| ۱۱۷..... | ۷ ۴ ۴ طراحی دیجیتال کننده پیشنهادی |
| ۱۱۸..... | ۷ ۴ ۴ طراحی آشکارساز انتقال فاز پیشنهادی |
| ۱۲۰..... | ۷ ۴ فصل هشتم: نتایج شبیه سازی |
| ۱۲۵..... | ۷ ۴ فصل نهم: جمع بندی و مقایسه نتایج |
| ۱۲۸..... | ۷ ۴ فهرست منابع |

فهرست شکل ها

| عنوان | صفحه |
|--|------|
| شكل ۱ ساختار قلب..... | ۷ |
| شكل ۲ محل قرار گیری گرهای قلب | ۸ |
| شكل ۳ سیگنال طبیعی قلب | ۹ |
| شكل ۴ مدار پیس میکر اولیه | ۲۰ |
| شكل ۵ مدار پیس میکر Demand | ۲۲ |
| شكل ۶ مدار پیس میکر Dual Chamber | ۲۴ |
| شكل ۷ سیگنال قلب همراه با Spike | ۲۶ |
| شكل ۸ وجود Spike در نوار قلب | ۲۷ |
| شكل ۹ وجود Spike در نوار قلب | ۲۷ |
| شكل ۱۰ پیس میکر ترمولکترونیکی | ۳۵ |
| شكل ۱۱ نمودار ولتاژ مدار باز به تغییرات زمان | ۳۶ |
| شكل ۱۲ نمودار تولیدی بر حسب تغییرات زمان | ۳۷ |
| شكل ۱۳ ساختمان لید | ۴۰ |
| شكل ۱۴ ساختمان لید تک قطبی | ۴۰ |
| شكل ۱۵ ساختمان لید دو قطبی | ۴۱ |
| شكل ۱۶ ماده متخلل مورد استفاده در الکترود | ۴۳ |
| شكل ۱۷ پلاریزاسیون | ۴۴ |
| شكل ۱۸ محل قرار گیری Stroid در الکترود | ۴۵ |
| شكل ۱۹ بلوک دیاگرام پیس میکر نرخ اکنشی | ۴۶ |
| شكل ۲۰ بلوک دیاگرام تقویت کننده حسی | ۴۷ |

| | |
|----------|--|
| ۴۸ | شکل ۴ ۹ پاسخ گذرای مدار تقویت کننده حسی |
| ۵۰ | شکل ۴ ۱۰ بلوک دیاگرام تقویت کننده حسی Haddad |
| ۵۱ | شکل ۴ ۱۱ حلقه TL چهار ترانزیستوری و اصل مدارهای DTL |
| ۵۲ | شکل ۴ ۱۲ مبدل دیفرانسیل به جریان تک خروجی |
| ۵۲ | شکل ۴ ۱۳alf بلوک دیاگرام فیلتر میان گذر چهارتایی Haddad |
| ۵۴ | شکل ۴ ۱۳ب نمای مدار چهارتایی Haddad |
| ۵۴ | شکل ۴ ۱۴ مدار قدر مطلق گیر Haddad |
| ۵۵ | شکل ۴ ۱۵ مدار مبدل RMS-DC Haddad |
| ۵۶ | شکل ۴ ۱۶ مدار مقایسه کننده Haddad |
| ۵۸ | شکل ۴ ۱۷alf بلوک دیاگرام آشکارساز QRS Lasanen |
| ۶۰ | شکل ۴ ۱۷ب سرجلویی آنالوگ Lasanen |
| ۶۰ | شکل ۴ ۱۸ پیش تقویت کننده شبیه تفاضلی Lasanen |
| ۶۲ | شکل ۴ ۱۹ تقویت کننده عملیاتی تک خروجی جبران سازی شده با میلر Lasanen |
| ۶۴ | شکل ۴ ۲۰ فیلتر میان گذر نردبانی SO-SC Lasanen |
| ۶۷ | شکل ۴ ۲۱ تقویت کننده OTA سوئیچ شده و مدار CMFB آن |
| ۶۸ | شکل ۴ ۲۲ اسیلاتور کریستال Lasanen |
| ۶۹ | شکل ۴ ۲۳ بلوک دیاگرام مولد سیگنال کلاک که دو فاز تولید می کند |
| ۷۰ | شکل ۴ ۲۴ مدار بایاس Lasanen |
| ۷۷ | شکل ۵ ۱ دیاگرام QPSK |
| ۷۹ | شکل ۵ ۲ بلوک دیاگرام ساخت سیگنال QPSK |
| ۷۹ | شکل ۵ ۳ آشکارسازی QPSK |
| ۸۱ | شکل ۵ ۴ سیگنال مدوله شده QPSK در حوزه زمان |
| ۸۲ | شکل ۵ ۵ دیاگرام OQPSK و مقایسه پرش ها در QPSK و OQPSK |

عنوان

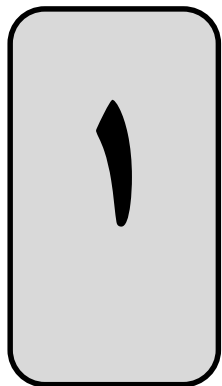
صفحه

- شکل ۶ نمودار OQPSK و QPSK در حوزه زمان ۸۲
- شکل ۷ دیاگرام $\frac{\pi}{4}$ -QPSK ۸۳
- شکل ۸ مدولاسیون $\frac{\pi}{4}$ -QPSK در حوزه زمان ۸۳
- شکل ۹ دیاگرام PSK مرتبه بالاتر ۸۴
- شکل ۱۰ مقایسه نرخ خطی بیت مدولاسیون های 16-PSK ,QPSK ,BPSK ,8-PSK و ۸۵
- شکل ۱۱ الف دمدولاتور BPSK با حلقه به توان ۲ ۸۸
- شکل ۱۲ ب دمدولاتور BPSK با حلقه Costas ۸۹
- شکل ۱۳ الف بلوک دیاگرام نوع اول دمدولاتور BPSK پیشنهادی Luo ۹۰
- شکل ۱۴ ب بلوک دیاگرام نوع دوم دمدولاتور BPSK پیشنهادی Luo ۹۱
- شکل ۱۵ PLL مرتبه دوم و سوم ۹۲
- شکل ۱۶ پاسخ خطی پله حلقه بسته PLL مرتبه دوم ۹۳
- شکل ۱۷ نسخه اولیه دمدولاتور BPSK پیشنهادی Luo ۹۴
- شکل ۱۸ اسیلاتور حلقه ای کنترل شده با ولتاژ در طراحی Luo ۹۵
- شکل ۱۹ آشکارساز فاز فرکانس (PFD) با پمپ شارژ (CP) طراحی Luo ۹۶
- شکل ۲۰ نسخه دوم دمدولاتور پیشنهادی Luo که اجزای خارجی آن کاهش یافته است ۹۷
- شکل ۲۱ استخراج سیگнал دادهی BPSK بدون استفاده از LPF در طراحی Luo ۹۸
- شکل ۲۲ اسیلاتور کنترل شده با ولتاژ مورد استفاده در نسخه بعدی دمدولاتور Luo BPSK ۹۹
- شکل ۲۳ نتایج شبیه سازی دمدولاتور Luo BPSK ۱۰۰
- شکل ۲۴ نتیجه شبیه سازی VCO مورد استفاده در طراحی دمدولاتور BPSK نسخه دوم ۱۰۱
- شکل ۲۵ نتیجه اندازه گیری VCO حلقه مورد استفاده در طراحی دمدولاتور BPSK نسخه اول Luo ۱۰۱
- شکل ۲۶ مدار ساخته شده دمدولاتور Luo BPSK ۱۰۲
- شکل ۲۷ پیده سازی آزمایشی دمدولاتور Luo BPSK ۱۰۲

| صفحه | عنوان |
|----------|--|
| ۱۰۳..... | شکل ۶ ۱۵ نتایج اندازه‌گیری دمودولاتور Luo BPSK |
| ۱۰۴..... | شکل ۶ ۱۶ نتیجه اندازه‌گیری دمودولاتور Luo BPSK |
| ۱۰۵..... | شکل ۶ ۱۷ نتایج اندازه‌گیری BER طراحی Luo |
| ۱۰۶..... | شکل ۶ ۱۸ بلوک دیاگرام ادوات کاشتنی |
| ۱۰۷..... | شکل ۶ ۱۹ Constellation های سیگنال‌های BPSK ، BFSK و BASK |
| ۱۰۸..... | شکل ۶ ۲۰ بلوک دیاگرام دمودولاتور پیشنهادی Asgarian |
| ۱۰۹..... | شکل ۶ ۲۱ شکل موجهای آنالوگ و دیجیتال |
| ۱۱۰..... | شکل ۶ ۲۲ بلوک دیاگرام آسکارساز داده‌ی طراحی Asgarian |
| ۱۱۱..... | شکل ۶ ۲۳ دو نمونه از بدترین حالات جهت اندازه‌گیری f_{OSC} در طراحی Asgarian |
| ۱۱۲..... | شکل ۷ ۱ معماری پیشنهادی فرستنده گیرنده BPSK |
| ۱۱۳..... | شکل ۷ ۲ مدار فرستنده BPSK پیشنهادی |
| ۱۱۴..... | شکل ۷ ۳ مدار گیرنده BPSK پیشنهادی |
| ۱۱۵..... | شکل ۷ ۴ مدار اشمیت تریگر پیشنهادی |
| ۱۱۶..... | شکل ۷ ۵ منحنی انتقالی و آستانه‌های اشمیت تریگر |
| ۱۱۷..... | شکل ۷ ۶ ولتاژ سلف L_1 و ورودی |
| ۱۱۸..... | شکل ۷ ۷ ولتاژ القایی دوسر L_2 و ورودی |
| ۱۱۹..... | شکل ۷ ۸ خروجی دیجیتال کننده |
| ۱۱۱..... | شکل A ۱ الف ولتاژ دو سر خازن C_1 |
| ۱۱۲..... | شکل A ۲ ب ولتاژ سلف L_1 و ورودی |
| ۱۱۳..... | شکل A ۳ خروجی دیجیتال |
| ۱۱۴..... | شکل A ۴ ب ولتاژ دو سر خازن C_2 |
| ۱۱۵..... | شکل A ۵ خروجی گیت NOT |
| ۱۱۶..... | شکل A ۶ خروجی دمودولاتور پیشنهادی |

فهرست جداول

| صفحه | عنوان |
|------|--|
| ۳۱ | جدول ۱ طول عمر باتری های پیس میکر در سالهای مختلف. |
| ۳۵ | جدول ۲ اطلاعات مربوط به پیس میکر |
| ۴۲ | جدول ۳ مقایسه دو نوع لید |
| ۶۳ | جدول ۴ ۲ اندازه های افزار تقویت کننده تک خروجی Lasanen |
| ۶۳ | جدول ۴ ۳ کارایی پیش تقویت کننده شبیه تفاضلی Lasanen |
| ۶۵ | جدول ۴ ۴ مقایسه توپولوژی های SO-SC نرdbانی و Biquad |
| ۶۵ | جدول ۴ ۵ مقادیر مختلف خازن برای فیلتر Lasanen SO-SC |
| ۶۷ | جدول ۴ ۶ کارایی OTA سوئیچ شده |
| ۷۱ | جدول ۴ ۷ مقایسه مدارهای مختلف پیشنهادی جهت دریافت سیگнал قلب |
| ۱۰۰ | جدول ۵ ۱ مقادیر پارامترهای شبیه سازی طراحی Luo |
| ۱۰۴ | جدول ۵ ۲ بازده چیپ طراحی Luo |
| ۱۱۰ | جدول ۵ ۳ مقایسه دمدولاتورهای مختلف BPSK |
| ۱۲۷ | جدول ۶ ۱ مقایسه دمدولاتورهای BPSK مختلف با دمدولاتور پیشنهادی. |



مقدمة

بسیاری از بیماریها از جمله بیماری‌های قلبی که علت اصلی مرگ و میر در کشورهای مختلف است و حدود ۳۹٪ از مرگ و میر افراد را در سال به خود اختصاص داده است اگر چه به طور تصادفی و بدون علامت رخ می‌دهند، ولی دارای اختلالات ریتمیک قبل از حادثه است. حدود ۳۰٪ افرادی که دچار حمله قلبی می‌شوند قبل از اینکه به بیمارستان برسند فوت می‌شوند.

یک دستگاه ECG معمولی به دلیل حجم بزرگ و عدم راحتی فرد نمی‌تواند گزینه مناسبی برای مانیتور کردن ۲۴ ساعته فرد باشد به همین دلیل محققان و دانشمندان بر آن شدند تا سیستمی را طراحی کنند که بتوان به راحتی علایم حیاتی بدن مثل سیگنال قلب، سیگنال مغز، فشار خون، قند خون، میزان اکسیژن خون را مانیتور و به طور همزمان برای پزشک یا مرکز درمانی ارسال کرد. این ایده زمینه‌ای برای پیدایش شبکه‌های سنسوری بدن (Body Sensor Networks) شد. این دستگاهها می‌توانند مشکلات فیزیولوژیکی فرد را کشف و در یک زمان واقعی این اتفاق را اعلام کند.

BSN‌ها که با نام Wireless Body Area Network(WBAN) نیز خوانده می‌شوند سیستم‌هایی هستند جهت تشخیص و ارسال سیگنال‌های حیاتی بدن. این سیستمها می‌توانند بین چندین سنسور کوچک بدن و یک مرکز درمانی (Base Station) ارتباط برقرار کنند.

WBAN تکنولوژی Wireless Personal Area Network(WPAN) حدوداً از سال ۱۹۹۵ با نظریه Body Sensor برای بدن انسان آغاز شد. بعداً حدود سال ۲۰۰۱ تا کنون سیستم‌های WPAN با نام Network خوانده شدند.

رشد سریع سنسورهای فیزیولوژیکی ، مدارهای مجتمع کم مصرف و ارتباطات بی سیم ، تکنولوژی‌های جدید این شبکه ها محسوب می شود. حوزه‌ی این شبکه ها مربوط به چندین شاخه علمی می شود که می تواند یک مشاهده ارزان و مداوم را از سلامتی فرد به صورت آنی (Real Time) فراهم آورد.

یکی از کاربردهای BSN ، ارسال سیگنال های قلب به مرکز درمانی است تا در صورت لزوم تحریک لازم جهت تنظیم ضربان قلب ارسال گردد. وسیله‌ای که کار تنظیم ضربان قلب را بر عهده دارد پیس میکر نام دارد که در بدن کاشته می شود و امکان ضربان منظم قلب را فراهم می کند.

یکی از روش‌های پرکاربرد جهت ارسال توان و داده از یک قطعه خارجی به پیس میکر کاشته شده ، کوپلینگ القایی بین دو سلف نزدیک به هم است. اما این روش با چنین کاربردهایی چالش های زیادی را به همراه دارد که می توان به محدودیت فرکانس کریر، مصرف توان کم و نرخ داده بالا اشاره کرد. علاوه بر این، مدولاسیون های دیجیتال مختلفی مانند BPSK ، FSK ، ASK ارائه شده است. در بین این مدولاسیون ها، BPSK دارای ویژگی هایی همچون بازده توان انتقالی بالا و نویز پذیری کمتر است.

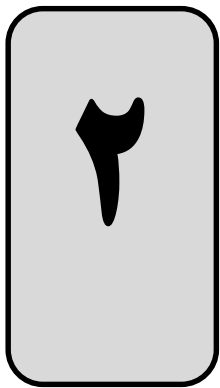
جهت دمودله کردن سیگنال BPSK به یک کریر مرجع در سمت گیرنده نیاز است تا با استفاده از یک PLL نتایج بدست آمده را مقایسه کند. برای چیره شده بر این مشکل روش آشکارسازی غیرمنسجم ارائه شده است. با وجود BER بیشتر این روش در مقایسه با روش منسجم ، به علت سادگی مدارهای آن استفاده گسترده ای در مدارهای RF دارد.

در فصل دوم این تحقیق انواع پیس میکرها ، سیر تکامل آنها و مزایا و معایب آنها ارایه شده است. در فصل سوم به تامین توان مورد نیاز پیس میکر پرداخته شده است. در فصل چهارم به ساختار Sense Amplifier قلب پرداخته شده است و مدارهای مختلف لیدها و انواع آنها و مدارهای Sense Amplifier مورد بررسی قرار گرفته و نتایج مقایسه آنها در پایان این فصل آمده است.

در فصل پنجم این تحقیق به بررسی انواع مدولاسیون دیجیتال PSK که جهت ارسال داده مورد استفاده قرار می‌گیرد بحث شده است و ویژگی‌های این مدولاسیون‌ها مورد بررسی قرار گرفته است.

در فصل ششم دو نمونه دمودلاتور BPSK مورد بررسی قرار گرفته است و نتایج این مدارها در پایان این فصل آمده است. در فصل ششم فرستنده گیرنده BPSK پیشنهادی ارائه می‌شود. این گیرنده از تکنیک غیرمنسجم استفاده می‌کند که نیازی به PLL جهت مقایسه سیگنال ندارد و درنتیجه پیچیدگی و مصرف توان مدار به طور قابل ملاحظه‌ای کاهش می‌یابد.

در فصل هفتم معماری مدولاتور و دمودلاتور پیشنهادی ارایه شده است و در فصل هشتم نتایج شبیه سازی مدارهای فرستنده و گیرنده پیشنهادی ارائه می‌شود. این نتایج با استفاده از نرم افزار ADS بدست آمده‌اند. در فصل نهم هم جمع بندی و مقایسه نتایج آمده است.



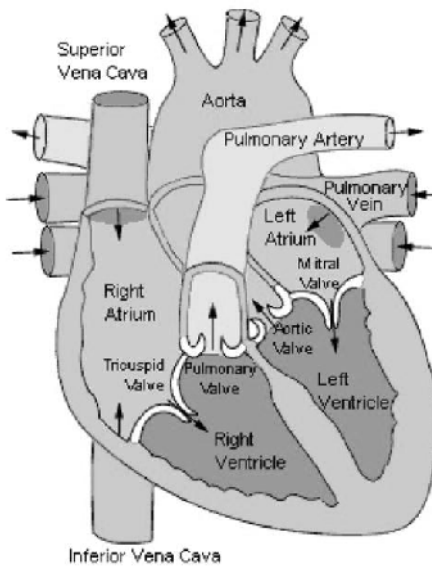
سیر تکاملی پیس میکرها و انواع آن

جهت درک بهتر اینکه چرا بعضی بیماران نیاز به پیس میکر دارند و این قطعه چگونه کار می کند باید در مورد اینکه قلب و سیستم الکتریکی آن چگونه کار می کند بحث کنیم.

قلب انسان از چهار حفره مرتبط به هم تشکیل شده است: دو دهلیز^۱ و دو بطن^۲ که هر کدام در عمل پمپ کردن خون نقش دارند. خون با اکسیژن کم، از تمام نواحی مختلف بدن به دهلیز راست می ریزد. وقتی دهلیز راست پر شد، خون را به حفره زیرین خود یعنی بطن راست می فرستد. این حفره بزرگتر خون را از طریق سرخرگ ریوی به ریه ها می فرستد. در ریه، خون از اکسیژن غنی می شود و از طریق سیاهرگهای ریوی به قلب (دهلیز چپ) باز می گردد. وقتی دهلیز چپ پرشد، خون را به حفره زیرین خود می فرستد. این حفره، یا همان بطن چپ، با استفاده از عضلات قوى خود خون را به سرتاسر بدن پمپ می کند. [۲]

1 .Atria

2 .Ventricle



شکل ۴ + ساختار قلب

ضربان قلب طبیعی بین ۶۰ تا ۱۰۰ بار در دقیقه می باشد. این ضربان ها منظم بوده و فواصل بین آنها تقریباً برابر است و بسته به نیاز بدن به اکسیژن ضربان قلب می تواند کند و یا تندر شود و در واقع بدن به قلب می گوید که به چه میزان اکسیژن نیاز دارد. میلیونها سلول قلب به امواج کوچک الکتریکی واکنش نشان می دهند. امواج الکتریکی در قلب توسط قسمت مخصوصی در ناحیه فوقانی دهلیز راست ساخته می شوند که به آن گره سینوسی- دهلیزی گفته می شود.

گره سینوسی گروهی از سلولهای تخصصی در دهلیز راست هستند که امواج الکتریکی را تولید کرده و به تمامی قلب می فرستند. گره سینوسی پرشدن دهلیز از خون را حس می کند و با فرستادن یک موج الکتریکی باعث انقباض دهلیزی می شود، که این انقباض خود باعث خروج خون از این حفره و ورود آن به بطن می شود.

گره دهلیزی- بطنی گروهی دیگر از سلولهای تخصصی در بین دهلیز و بطن می باشند که امواج الکتریکی ناشی از گره سینوسی را از دهلیزها به بطنها منتقل می کنند. با توجه به تاخیری که در این انتقال وجود دارد بطنها بعد از اینکه توسط انقباض دهلیزی پرشند منقبض شده و خون را به ریه ها و سرتاسر بدن می فرستند. [۲]